arXiv:1301.4792v1 [math-ph] 21 Jan 2013

Система нелинейных осцилляторов с диссипацией. Начальный этап авторезонанса. [*]

С. Глебов [†]
Н. Тарханов [‡]

Аннотация

В работе исследуется влияние диссипации на порог авторезонанса в возмущенной нелинейной системе связанных осцилляторов. Приведены явные асимптотические формулы и численное моделирование эффектов возникающих на начальном этапе обрушения авторезонасного роста решения.

1 Введение

Системы связанных нелинейных осцилляторов часто используются для описания колебательных процессов в различных областях знаний. Наиболее интересным эффектом в таких системах является резонанс – возрастание амплитуды колебаний. Резонансное взаимодействие может возникать как между собственными модами, так и с внешней силой, если такая имеется. Медленное изменение частот может приводить к новым эффектам, к захвату в резонанс, при котором частота внешней силы приходит к резонансному значению и в дальнейшем остается около него. Эффекты такого типа принято называть авторезонансом [1]-[3].

Мы будем рассматривать систему возмущенных слабо нелинейных связанных осцилляторов с диссипацией. Собственные частоты постоянны и относятся друг к другу как 1:2. Это случай так называемого параметрического резонанса. В работе [4] показано, что за счет малого возмущения в такой системе без диссипации можно получить решения большой амплитуды, но при этом амплитуда возмущения должна превышать некоторое пороговое значение. Результаты о пороге авторезонанса в системах без диссипации были получены как численно [5]-[6] так и аналитически [7]-[8], [4].

Имеются также результаты о влиянии диссипации на порог авторезонанса [9],[10], [11]. В работах [12], [13], [14], [15] получены оценки максимального значения амплитуды колебаний момента срыва решения.

---

[*] Работа выполнена при поддержке гранта РФФИ 11-01-91330-ННИО-а

[†] Уфимский государственный Нефтяной технический университет(`glebskie@gmail.com`)

[‡] Институт математики, Потсдамский университет (`tarkhanov@math.uni-potsdam.de`)

Детальное исследование авторезонансных систем с диссипацией приведено в работах авторов [14], [15].

Целью данной работы является получение аналитического описания влияния диссипации на авторезонансные процессы в системах нелинейных осцилляторов. Оценка величины диссипации, при которой в системе возможен авторезонанс за счет внешнего возмущения.

2 Постановка задачи и редукция к модельной системе

Рассмотрим систему слабо связанных осцилляторов с диссипацией

$$\begin{array}{rcl} x'' + \varepsilon\nu_1 x' + \omega^2 x & = & \varepsilon\alpha_1 xy + \varepsilon(\gamma\exp\{i\varphi + c.c.\}), \\ y'' + \varepsilon\nu_2 y' + 4\omega^2 y & = & \varepsilon\alpha_2 x^2. \end{array} \qquad (1)$$

здесь ε малый положительный параметр, $\varphi = (\omega + \varepsilon\alpha\tau)\theta,\ \tau = \varepsilon\theta$.

Параметры в системе (1) имеют следующий смысл: ω – собственная частота первого осциллятора, α_1, α_2 – параметры нелинейной связи осцилляторов, ν_1, ν_2 – коэффициенты диссипации, γ – амплитуда внешнего возмущения, α – производная от расстройки частоты внешнего возмущения по медленному времени τ.

Решение (1) будем искать в комплексной форме

$$x = \mathcal{A}(\tau)\exp\{i\omega\theta\} + c.c., \quad y = \mathcal{B}(\tau)\exp\{2i\omega\theta\} + c.c.. \qquad (2)$$

Подставляя (2) в (1) и оставляя только слагаемые порядка ε получаем

$$\begin{array}{rcl} \mathcal{A}'(\tau) & = & -\dfrac{i\alpha_1}{2\omega}\mathcal{A}^*\mathcal{B} - \dfrac{i\gamma}{2\omega}\exp\{i\alpha\tau^2\} - \dfrac{\nu_1}{2}\mathcal{A}, \\ \mathcal{B}'(\tau) & = & -\dfrac{i\alpha_2}{4\omega}\mathcal{A}^2 - \dfrac{\nu_2}{2}\mathcal{B}. \end{array}$$

Подстановка

$$\mathcal{A} = a(\tau)\exp\{i\alpha\tau^2\} + c.c., \quad \mathcal{B} = b(\tau)\exp\{2i\alpha\tau^2\} + c.c.$$

приводит к системе

$$\begin{array}{rcl} a' + 2i\alpha\tau a + \dfrac{\nu_1}{2}a & = & -\dfrac{i\alpha_1}{2\omega}a^* b - \dfrac{i\gamma}{2\omega}, \\ b' + 4i\alpha\tau b + \dfrac{\nu_2}{2}b & = & -\dfrac{i\alpha_2}{4\omega}a^2. \end{array}$$

Масштабированием независимой переменной τ и амплитуд a, b часть параметров можно сделать равными единице. Замена переменных

$$\tau = \chi t, \qquad a = \lambda A, \qquad b = \kappa B,$$

$$\kappa = \frac{\omega\sqrt{\alpha}}{\alpha_1}, \quad \lambda = \sqrt{\frac{\alpha}{\alpha_1\alpha_2}}, \quad \chi^2 = \frac{1}{\alpha}$$

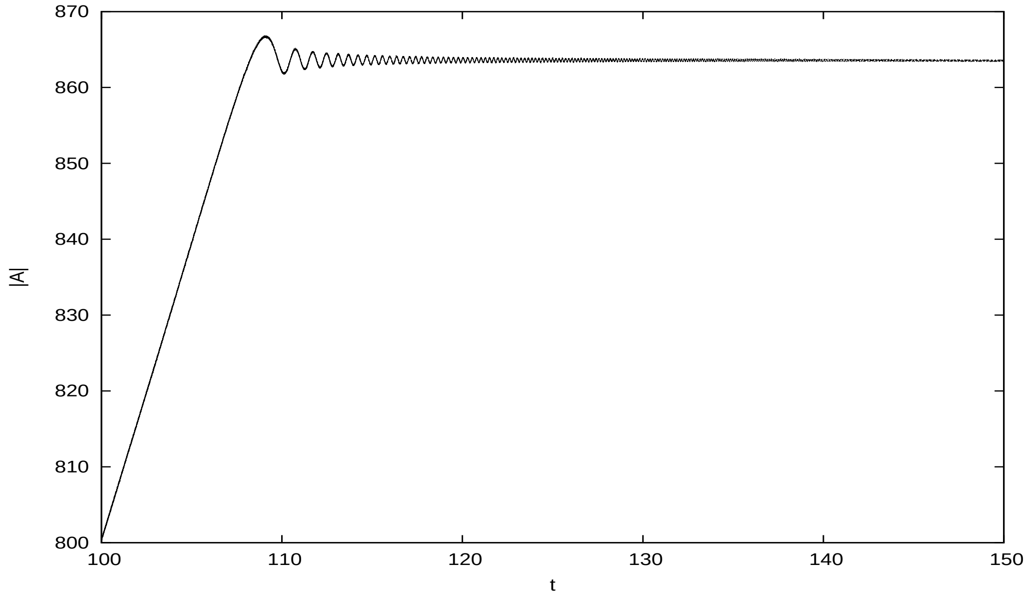

Рис. 1: График $|A(t)|$ решения (3) при $\mu_1 = \mu_2 = 0$ и значении $f = 11.9$ меньше порогового значения $f_* = 12$.

приводит к системе уравнений главного резонанса

$$\begin{aligned} A'(t) &= -i\Big(2tA + \frac{1}{2}A^*B + f\Big) - \mu_1 A, \\ B'(t) &= -i\Big(4tB + \frac{1}{4}A^2\Big) - \mu_2 B, \end{aligned} \tag{3}$$

где

$$\mu_1 = \frac{\nu_1}{2\sqrt{\alpha}}, \qquad \mu_2 = \frac{\nu_2}{2\sqrt{\alpha}}, \qquad f = \frac{\gamma\sqrt{\alpha_1\alpha_2}}{2\alpha\omega^2}.$$

3 Численное моделирование и мотивация постановки задачи

В работе [4] показано, что для системы (3) при $\mu_1 = \mu_2 = 0$ имеется пороговое значение амплитуды возмущения $f_* = 12$. Если амплитуда возмущения f превышает это пороговое значение, то в системе происходит захват в резонанс. Если же амплитуда возмущения меньше, то захвата не происходит. На Рис. 1,2 приведены результаты численного моделирования этого эффекта. Численный счет для системы (3) при $\mu_1 = \mu_2 = 0$ проводился методом Рунге–Кутты 4-го порядка. Величина шага сетки составляла 10^{-4}. График на Рис.1, соответствуют значению $f = 11.9 < f_*$, а график на Рис. 2 — значению $f = 12.1 > f_*$.

На Рис. 3, 4 приведены результаты численного счета решений системы (3) при наличии диссипации. Значения параметров – $f = 18, \mu_1 = \mu_2 = 0.005$, величина шага сетки 10^{-4}.

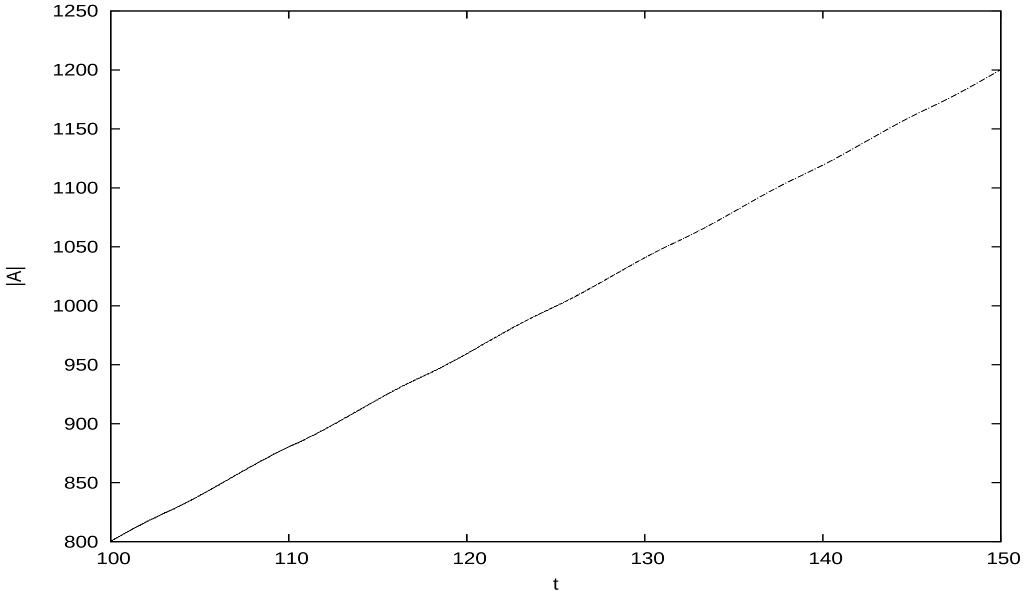

Рис. 2: График $|A(t)|$ решения (3) при $\mu_1 = \mu_2 = 0$ и значении $f = 12.1$ больше порогового значения $f_* = 12$.

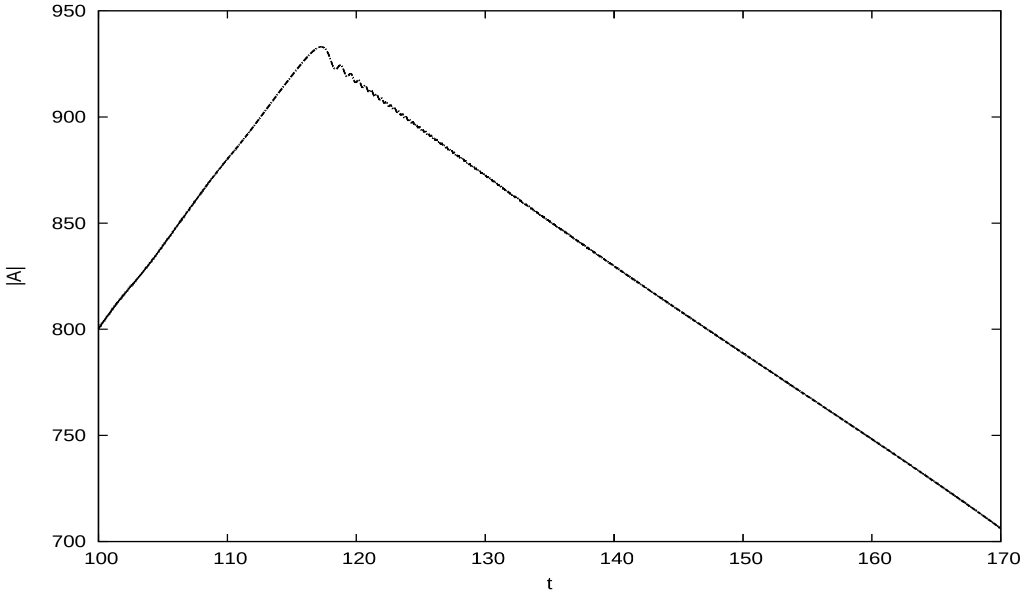

Рис. 3: График $|A(t)|$ при наличии диссипации. Коэффициенты диссипации $\mu_1 = \mu_2 = 0.005$, величина амплитуды возмущения $f = 18$.

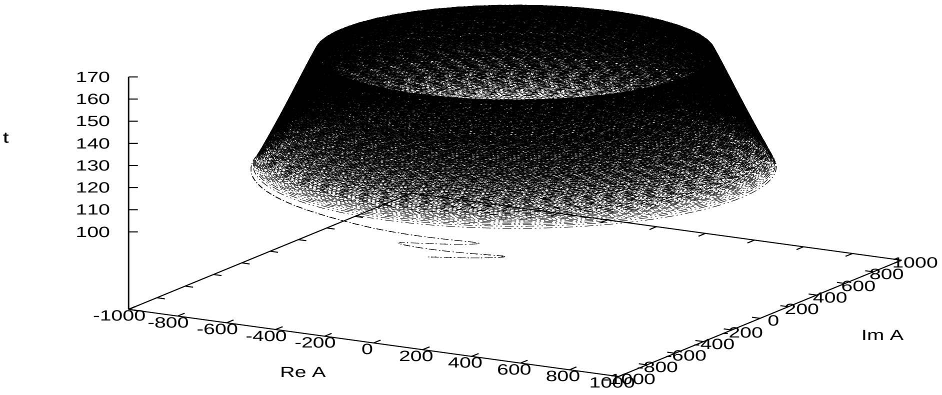

Рис. 4: Зависимость вещественной и мнимой части компоненты A системы (3) от t. Коэффициенты диссипации $\mu_1 = \mu_2 = 0.005$, величина амплитуды возмущения $f = 18$.

На этих рисунках отчетливо видны три типа движений. На начальном этапе происходит рост решения. На втором этапе — происходит остановка роста из-за наличия диссипации в системе и наконец на третьем этапе решение начинает убывать.

Нашей задачей является получение асимптотических формул, описывающих данный эффект.

4 Результат

В работе предполагается, что коэффициенты диссипации μ_1, μ_2 в системе (3) имеют одинаковый порядок малости μ и мы используем обозначения $\mu_1 = \delta_1\mu, \mu_2 = \delta_2\mu; \delta_1, \delta_2 \sim O(1)$.

Решение системы исходной системы (3) на начальном этапе авторезонансного роста имеет различное представление в разных областях. В области

$$\sqrt{f^2 - 16(3 + 2\delta_1\mu t + \delta_2\mu t)^2} \gg \mu$$

оно имеет вид

$$\begin{aligned} A(t,\mu) &= \frac{1}{\mu}\Big[8\theta + \mu^2\alpha_2(\theta,\mu)\Big]\exp\left\{i\Psi_a(\theta,\mu)\right\}, \\ A(t,\mu) &= \frac{1}{\mu}\Big[-4\theta + \mu^2\beta_2(\theta,\mu)\Big]\exp\left\{2i\Psi_b(\theta,\mu)\right\}, \end{aligned}$$

где

$$\begin{aligned} \Psi_a &= \Psi_0(\theta) + \mu^2\Psi_{a2}(\theta), \\ \Psi_b &= \Psi_0(\theta) + \mu^2\Psi_{b2}(\theta), \end{aligned}$$

и независимая переменная $\theta = \mu t$.

В области

$$-\mu^{-1} \ll \frac{\sqrt{f^2 - 16(3 + 2\delta_1\mu t + \delta_2\mu t)^2}}{\mu} \ll \mu^{-1/2}$$

решение имеет вид

$$\begin{aligned} a(\sigma,\mu) &= \Big[a_0(\sigma) + \mu a_1(\sigma) + \mu^2 a_2(\sigma)\Big] \exp\Big\{i(\psi_0(\sigma) + \mu\psi_1(\sigma) + \mu^2\psi_2(\sigma))\Big\}, \\ b(\sigma,\mu) &= \Big[b_0(\sigma) + \mu b_1(\sigma) + \mu^2 b_2(\sigma)\Big] \exp\Big\{2i(\psi_0(\sigma) + \mu\psi_1(\sigma) + \mu^2\psi_2(\sigma))\Big\}. \end{aligned}$$

Здесь используется независимая переменная

$$\sigma = \frac{\sqrt{f^2 - 16(3 + 2\delta_1\theta + \delta_2\theta)^2}}{\mu}.$$

Приведенные коэффициенты асимптотических представлений определяются в разделах 5,6 соответственно.

5 Алгебраические асимптотические решения

В этом разделе мы будем исследовать алгебраические решения системы (3) при значениях t, соответствующих начальному этапу авторезонансного роста решения.

Сделаем замену переменных

$$\theta = \mu t, \quad a(\theta,\mu) = \mu A, \quad b(\theta,\mu) = \mu B$$

В новых переменных система (3) имеет вид

$$\begin{aligned} \mu^2 a' &= -i\big(2\theta a + \frac{1}{2}a^* b + \mu^2 f\big) - \mu^2\delta_1 a, \\ \mu^2 b' &= -i\big(4\theta b + \frac{1}{4}a^2\big) - \mu^2\delta_2 b, \end{aligned} \qquad (4)$$

здесь мы предполагаем, что коэффициенты диссипации μ_1, μ_2 имеют один порядок μ.

Решение (4) будем искать в виде

$$\begin{aligned} a(t,\mu) &= \Big[8\theta + \mu^2\alpha_2(\theta,\mu) + \mu^4\alpha_4(\theta,\mu)\Big] \exp\left\{i\Psi_a(\theta,\mu)\right\}, \\ b(t,\mu) &= \Big[-4\theta + \mu^2\beta_2(\theta,\mu) + \mu^4\beta_4(\theta,\mu)\Big] \exp\left\{2i\Psi_b(\theta,\mu)\right\}, \end{aligned} \qquad (5)$$

где

$$\begin{aligned} \Psi_a &= \Psi_0(\theta) + \mu^2\Psi_{a2}(\theta) + \mu^4\Psi_{a4}(\theta), \\ \Psi_b &= \Psi_0(\theta) + \mu^2\Psi_{b2}(\theta) + \mu^4\Psi_{b4}(\theta). \end{aligned}$$

В представлении (5) в качестве главных членов асимптотики используются значения полученные при исследовании невозмущенной задачи из работы [4].

Подставляя представление (5) в систему (4) и собирая слагаемые при одинаковых степенях μ получим рекуррентную последовательность задач для определения коэффициентов a_k, b_k, ψ_k.

Соотношения при μ^0 выполнены тождественно в силу выбора главных членов асимптотики.

Для определения следующих поправок мы получаем систему линейных алгебраических уравнений с вырожденной матрицей. Соотношения при μ^2 для определения $(\alpha_2, \beta_2, \Psi_{a2}, \Psi_{b2})^T$ дают систему с матрицей

$$\begin{pmatrix} 1 & 1 & 0 & 0 \\ 0 & 0 & -1 & 1 \\ 0 & -\sin\Psi_0 & -8\theta\cos\Psi_0 & 8\theta\cos\Psi_0 \\ 0 & \cos\Psi_0 & -8\theta\sin\Psi_0 & 8\theta\sin\Psi_0 \end{pmatrix}$$

Ее ранг равен трем и для разрешимости системы нужно требовать ортогональности правой части и решения союзной системы.

Ортогональность решения союзной системы

$$\lambda_2 \left(0, -\frac{8\theta}{\sin\Psi_0}, \frac{\cos\Psi_0}{\sin\Psi_0}, 1\right)^T.$$

и правой части

$$\Big(2\Psi_0', \frac{1+\delta_2\theta}{8\theta^2}, -[2\cos\Psi_0(1+\delta_1\theta) + 2\theta\sin\Psi_0\Psi_0']/\theta,$$
$$-[f + 8\sin\Psi_0(1+\delta_1\theta) - 8\theta\cos\Psi_0\Psi_0']/4\theta\Big)^T$$

позволяет определить главный член Ψ_0

$$\sin\Psi_0 = -\frac{4(3+2\delta_1\theta+\delta_2\theta)}{f}. \qquad (6)$$

Откуда получаем

$$\Psi_0' = -\frac{4(2\delta_1+\delta_2)}{\sqrt{f^2 - 16(3+2\delta_1\theta+\delta_2\theta)^2}}.$$

Выражение (6) при $\delta_1 = \delta_2 = 0$ совпадает с главным членом асимптотики невозмущенной задачи из работы [4].

Соотношения при μ^4 для определения $(\alpha_4, \beta_4, \Psi_{a4}, \Psi_{b4})^T$ дают систему с матрицей

$$\begin{pmatrix} 1 & 1 & 0 & 0 \\ 0 & 0 & -1 & 1 \\ 0 & 0 & -1 & 1 \\ 0 & 1 & 0 & 0 \end{pmatrix}$$

Ее ранг также равен трем и для разрешимости системы нужно требовать ортогональности правой части и решения союзной системы.

Решение союзной системы имеет вид

$$\lambda_4\,(0,1,1,0)^T$$

Ее ортогональность к правой части (f_1, f_2, f_3, f_4), где

$$
\begin{aligned}
f_1 = \Big[&-\alpha_2^2 + 128\theta^2\Psi_{a2}^2 + 32\Psi_{b2} + 32\delta_2\theta\Psi_{b2} - 128\theta^2\Psi_{b2}^2 - 8\beta_2\Psi_0' + \\
&32\theta\Psi_{b2}'\Big]/(16\theta), \\
f_2 = [&4\delta_2\beta_2 - 32\theta\alpha_2\Psi_{a2} - 32\theta\beta_2\Psi_{b2} + 2\beta_2' + 64\theta\Psi_{b2}\Psi_0']/(128\theta^2), \\
f_3 = \Big[&-2\delta_1\alpha_2 + 8\theta\alpha_2\Psi_{a2} + 8\theta\beta_2\Psi_{a2} - 8\theta\alpha_2\Psi_{b2} + 16\theta\beta_2\Psi_{b2} + \\
&16\theta\Psi_{a2}\Psi_0'\Big]/(64\theta^2), \\
f_4 = \Big[&-\alpha_2\beta_2 - 16\Psi_{a2} - 16\delta_1\theta\Psi_{a2} + 64\theta^2\Psi_{a2}\Psi_{b2} - 64\theta^2\Psi_{b2}^2 - \\
&2\alpha_2\Psi_0' - 16\theta\Psi_{a2}'\Big]/(8\theta).
\end{aligned}
$$

позволяет определить поправки α_2, β_2. В результате получаем

$$
\begin{aligned}
\alpha_2 &= \frac{f^2 - 16(3 + 2\delta_1\theta + \delta_2\theta)^2 - 48(2\delta_1 + \delta_2)}{4\sqrt{f^2 - 16(3 + 2\delta_1\theta + \delta_2\theta)^2}}, \\
\beta_2 &= \frac{16(3 + 2\delta_1\theta + \delta_2\theta)^2 + 32(2\delta_1 + \delta_2) - f^2}{4\sqrt{f^2 - 16(3 + 2\delta_1\theta + \delta_2\theta)^2}}.
\end{aligned}
\tag{7}
$$

Полученное решение (7) для второй поправки амплитуды позволяет определить область пригодности представления (5):

$$
\sqrt{f^2 - 16(3 + 2\delta_1\theta + \delta_2\theta)^2}\mu^{-1} \gg 1. \tag{8}
$$

Численный счет позволяет проверить построенное асимптотическое решение. На рисунке 5 приведено результаты для численного и асимптотического решения (5). Тонкая линия соответствует асимптотическому решению, толстая — численному. Численное решение получено методом Рунге-Кутты четвертого порядка. Величина шага сетки составляла 10^{-4}. Значения параметров $\delta_1 = \delta_2 = 1, \mu = 0.005$. Величина амплитуды возмущения $f = 18$, что соответствует наличию авторезонанса в системе, см. [4].

На рисунке 6 мы приводим относительную разность $|a_{num}(t) - a(t)|/|a_{num}(t)|$ для представления (5) компоненты a решения системы (4). Здесь a — асимптотическое решение, a_{num} — численное решение.

6 Окрестность обрыва авторезонансного роста

Область пригодности асимптотического представления (5) полученная в предыдущем параграфе определяет новую растянутую внутреннюю переменную. В исходной системе уравнений перейдем к переменной

$$
\sigma = \frac{S}{\mu}, \quad \text{где} \quad S = \sqrt{f^2 - 16(3 + 2\delta_1\theta + \delta_2\theta)^2}.
$$

В новой переменной σ исследуемая система уравнений (4) примет вид

$$
\begin{aligned}
\frac{8\sqrt{f^2 - \mu^2\sigma^2}(2\delta_1 + \delta_2)}{\sigma} a_\sigma' &= i\left[\frac{\sqrt{f^2 - \mu^2\sigma^2} - 12}{2(2\delta_1 + \delta_2)} a + \frac{1}{2} a^* b + \mu^2 f\right] - \mu^2\delta_1 a, \\
\frac{8\sqrt{f^2 - \mu^2\sigma^2}(2\delta_1 + \delta_2)}{\sigma} b_\sigma' &= i\left[\frac{\sqrt{f^2 - \mu^2\sigma^2} - 12}{(2\delta_1 + \delta_2)} b + \frac{1}{4} a^2\right] - \mu^2\delta_2 b.
\end{aligned}
\tag{9}
$$

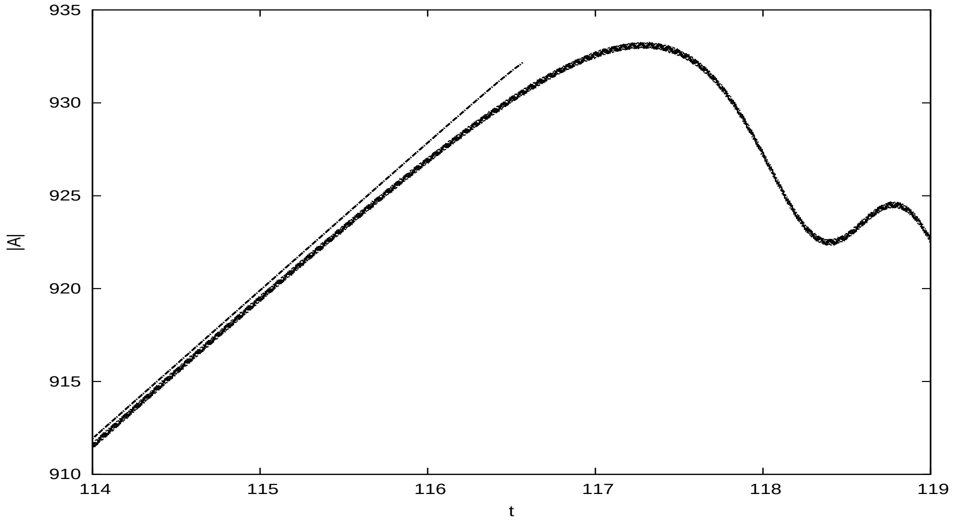

Рис. 5: Асимптотика (5) (тонкая линия) и численное решение (толстая линия). При численном счете использовались коэффициенты диссипации $\delta_1 = \delta_2 = 1, \mu = 0.005$, величина амплитуды возмущения $f = 18$. Остановка роста тонкой линии соответствует выходу из области пригодности для представления (5)

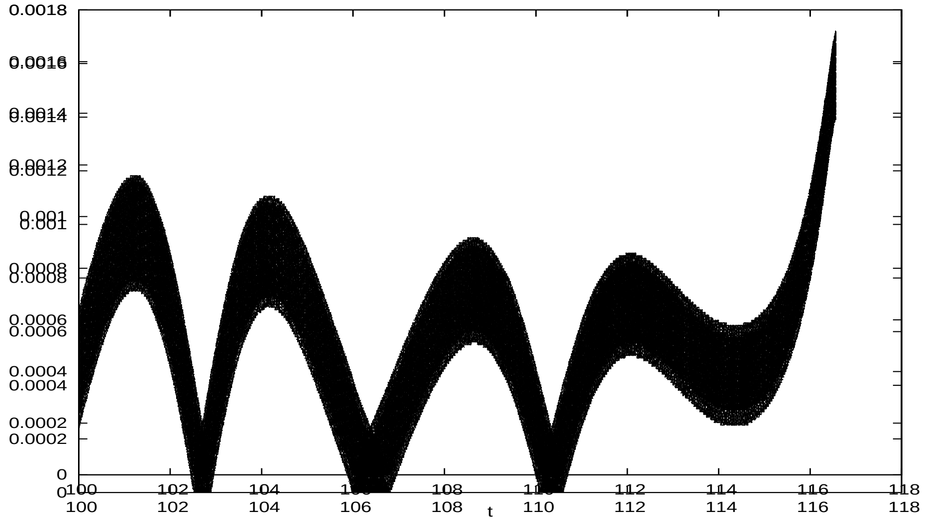

Рис. 6: Относительная разность $|a_{num}(t) - a(t)|/|a_{num}(t)|$ для компоненты a представления (5). Коэффициенты диссипации $\delta_1 = \delta_2 = 1, \mu = 0.005$, величина амплитуды возмущения $f = 18$.

Решение будем искать в виде

$$\begin{aligned} a(\sigma,\mu) &= \Big[a_0(\sigma)+\mu a_1(\sigma)+\mu^2 a_2(\sigma)\Big]\exp\Big\{i(\psi_0(\sigma)+\mu\psi_1(\sigma)+\mu^2\psi_2(\sigma))\Big\}, \\ & \qquad\qquad\qquad\qquad\qquad\qquad\qquad\qquad\qquad\qquad\qquad (10) \\ b(\sigma,\mu) &= \Big[b_0(\sigma)+\mu b_1(\sigma)+\mu^2 b_2(\sigma)\Big]\exp\Big\{2i(\psi_0(\sigma)+\mu\psi_1(\sigma)+\mu^2\psi_2(\sigma))\Big\}. \end{aligned}$$

Подставляя представление (10) в систему (9) и собирая слагаемые при одинаковых степенях малого параметра μ мы получим рекуррентную последовательность уравнений для определения коэффициентов представления (10).

Система (9) в главном имеет вид

$$\begin{aligned} \frac{8f(2\delta_1+\delta_2)}{\sigma}\Big[a_0'+i\psi_0' a_0\Big] &= i\left[\frac{f-12}{2(2\delta_1+\delta_2)}a_0+\frac{1}{2}a_0b_0\right], \\ \frac{8f(2\delta_1+\delta_2)}{\sigma}\Big[b_0'+2i\psi_0' b_0\Big] &= i\left[\frac{f-12}{(2\delta_1+\delta_2)}b_0+\frac{1}{4}a_0^2\right]. \end{aligned} \tag{11}$$

Анализируя систему получаем, что главные члены амплитуд a_0, b_0 являются постоянными и связаны между собой соотношением $a_0^2 = 4b_0^2$. На этом же этапе выводится уравнение для главного члена ψ_0 фазы

$$\psi_0'(\sigma) = \frac{f-12+b_0(2\delta_1+\delta_2)}{16f(2\delta_1+\delta_2)^2}\sigma.$$

Интегрируя его получаем

$$\psi_0(\sigma) = \frac{f-12+b_0(2\delta_1+\delta_2)}{32f(2\delta_1+\delta_2)^2}\sigma^2+\psi_{0,0}.$$

В результате главные члены представления (10) имеют вид

$$\begin{aligned} a &\sim 2b_0\exp\left\{i\left[\psi_{0,0}+\frac{f-12+\rho_0(2\delta_1+\delta_2)}{32f(2\delta_1+\delta_2)^2}\sigma^2\right]\right\}, \\ b &\sim b_0\exp\left\{2i\left[\psi_{0,0}+\frac{f-12+\rho_0(2\delta_1+\delta_2)}{32f(2\delta_1+\delta_2)^2}\sigma^2\right]\right\}, \end{aligned} \tag{12}$$

где постоянные $b_0, \psi_{0,0}$ определяются согласованием с представлением (5)

$$b_0 = \frac{f-12}{2\delta_1+\delta_2}, \qquad \psi_{0,0} = -\frac{\pi}{2}. \tag{13}$$

На следующем шаге из соотношений при первой степени малого параметра μ получаем систему

$$\begin{aligned} \frac{8f(2\delta_1+\delta_2)}{\sigma}\Big[a_1'+i\psi_0' a_1+i\psi_1' a_0-\psi_0'\psi_1 a_0\Big] &= \\ i\Big[\frac{f-12}{2(2\delta_1+\delta_2)}(a_1+ia_0\psi_1) &+ \frac{1}{2}(a_1b_0+a_0b_1+i\psi_1a_0b_0)\Big], \\ \frac{8f(2\delta_1+\delta_2)}{\sigma}\Big[b_1'+2i\psi_0' b_1+2i\psi_1' b_0-4\psi_0'\psi_1 b_0\Big] &= \\ i\Big[\frac{f-12}{(2\delta_1+\delta_2)}(b_1+2ib_0\psi_1) &+ \frac{1}{2}(a_0a_1+i\psi_1a_0^2)\Big] \end{aligned} \tag{14}$$

Группируя вещественные и мнимые слагаемые слагаемые определяем, что коэффициенты a_1, b_1 являются постоянными и связаны соотношением $a_1 = 2b_1$. Поправка ψ_1 в фазе удовлетворяет уравнению

$$\psi_1'(\sigma) = \frac{b_1}{16f(2\delta_1 + \delta_2)}\sigma. \tag{15}$$

Соотношения при μ^2, после подстановки уже найденных предыдущих коэффициентов представления (10) имеют вид

$$\begin{aligned}
&16if(2\delta_1 + \delta_2)a_2' - 32(2\delta_1 + \delta_2)fb_0\psi_2' = 2f\sigma\Big(i\sin\psi_0 - \cos\psi_0\Big) + 4i\delta_1 b_0\sigma - \\
&\qquad 2b_0b_2\sigma + \frac{b_0\Big(12 - b_0(2\delta_1 + \delta_2)\Big)\sigma^3}{f^2(2\delta_1 + \delta_2)},\\
&4f(2\delta_1 + \delta_2)\Big(\cos\psi_0 + i\sin\psi_0\Big)\Big[8f(2\delta_1 + \delta_2)b_2' + 16ifb_0(2\delta_1 + \delta_2)\psi_2'\Big] = \\
&\qquad -4f(2\delta_1 + \delta_2)\Big(\cos\psi_0 + i\sin\psi_0\Big)\Big[\delta_2 b_0\sigma - ib_0a_2\sigma + ib_0b_2\sigma\Big] + \\
&\qquad \frac{2b_0(-12 + b_0(2\delta_1 + \delta_2))(i\cos\psi_0 - \sin\psi_0)\sigma^3}{f}.
\end{aligned} \tag{16}$$

Выделение слагаемых для вещественной и мнимой части из системы (16) дает уравнения для определения вторых поправок

$$\begin{aligned}
a_2'(\sigma) &= \frac{f\sin\psi_0 + 2\delta_1 b_0}{8f(2\delta_1 + \delta_2)}\sigma,\\
b_2'(\sigma) &= -\frac{b_0\sigma}{32f^3(2\delta_1 + \delta_2)^2\sin\psi_0}\Big\{\Big[2f^2\delta_2(2\delta_1 + \delta_2) - 2a_2f^2(2\delta_1 + \delta_2) + \\
&\quad 2b_2f^2(2\delta_1 + \delta_2) - 12\sigma^2 + b_0(2\delta_1 + \delta_2)\sigma^2\Big]\cos\psi_0 + \Big[2f^2\delta_2(2\delta_1 + \delta_2) + \\
&\quad 2a_2f^2(2\delta_1 + \delta_2) - 2b_2f^2(2\delta_1 + \delta_2) - 12\sigma^2 + b_0(2\delta_1 + \delta_2)\sigma^2\Big]\sin\psi_0\Big\},\\
\psi_2'(\sigma) &= -\frac{\sigma}{64f^3(2\delta_1 + \delta_2)^2\cos\psi_0}\Big\{\Big[-2f^2\delta_2(2\delta_1 + \delta_2) - 2a_2f^2(2\delta_1 + \delta_2) + \\
&\quad 2b_2f^2(2\delta_1 + \delta_2) - 12\sigma^2 + b_0(2\delta_1 + \delta_2)\sigma^2\Big]\cos\psi_0 + \Big[2f^2\delta_2(2\delta_1 + \delta_2) - \\
&\quad 2a_2f^2(2\delta_1 + \delta_2) + 2b_2f^2(2\delta_1 + \delta_2) + 12\sigma^2 - b_0(2\delta_1 + \delta_2)\sigma^2\Big]\sin\psi_0\Big\}.
\end{aligned} \tag{17}$$

В результате поведение коэффициентов разложения амплитуды приводит к определению области пригодности представления (10)

$$\sigma \ll \mu^{-1/2}.$$

Список литературы

[1] E.M. McMillan. The synchrotron–a proposed high energy particle accelerator. // Phys. Rev. 1945. 68, 143.

[2] В.И. Векслер. Новый метод ускорения релятивистских частиц // Докл. АН СССР. 1944. Т. 43, N 8. С. 346-348.

[3] В.И. Векслер. О новом методе ускорения релятивистских частиц // Докл. АН СССР. 1944. Т. 44, N 9. С. 393–396.

[4] S.G. Glebov, O.M. Kiselev, V.A. Lazarev (2007) The autoresonance threshold in a system of weakly coupled oscillators. Proceedings of the Steklov Institute of Mathematics. Suppl. 1, S111-123.

[5] L. Friedland. Subharmonic Autoresonance of the Diocotron Mode // Physics of plasmas. 2000. V. 7, no. 5. P. 1712-1718.

[6] L. Friedland. Subharmonic Autoresonance // Physical Review E. 2000. V.61, no. 4. P. 3732–3735.

[7] Л.А. Калякин. Асимптотический анализ модели авторезонанса //Докл. РАН. 2001. Т. 378, N 5. С. 594-597.

[8] Л.А. Калякин. Асимптотическое решение задачи о пороговом эффекте для уравнений главного резонанса // Дифф. уравнения. 2004. Т. 40, N 6. С 731-739.

[9] O. Naaman, J. Aumentado, L. Friedland, J. S. Wurtele, and I. Siddiqi, Phase-Locking Transition in a Chirped Superconducting Josephson Resonator, PHYSICAL REVIEW LETTERS, 2008, 101, p. 117005.

[10] J. Fajansa, E. Gilson and L. Friedland, The e®ect of damping on autoresonant nonstationary. excitation, Physics of Plasmas, 2001, V.8, N2, pp.423-427.

[11] R.N. Garifullin, L.A. Kalyakin, M.A. Shamsutdinov, Autoresonance Excitation of a Breather in Weak Ferromagnetics, Computational Mathematics and Mathematical Physics, 2007, Vol. 47, No. 7, pp. 11581170.

[12] M.A. Shamsutdinov, L.A. Kalyakin, A.A. KhalÏna, A.L. Sukhonosov, Autoresonance in a Ferromagnetic Plate with a Stripe Domain Structure, Izvestiya Rossiiskoi Akademii Nauk. Seriya Fizicheskaya, 2008, Vol. 72, No. 10, pp. 1487-1489.

[13] M.A. Shamsutdinov, L.A. Kalyakin, A.A. KhalÏna, A.L. Sukhonosov, Autoresonant excitation of oscillations of domain walls in a Ferromagnetic Plate. accepted in Fizika metallov i metallovedenie.

[14] S. Glebov, O. Kiselev, and N. Tarkhanov Autoresonance in a dissipative system J. Phys. A: Math. Theor. 43 (2010) 215203

[15] S. Glebov, O. Kiselev, and N. Tarkhanov Forced nonlinear resonance in a system of coupled oscillators Chaos 21, 023109 (2011); doi:10.1063/1.3578047